

Structures et Dynamique des Réseaux

Robustesse et métrologie dynamique

Clémence Magnien, Lionel Tabourier, Fabien Tarissan

LIP6 – CNRS and Université Pierre et Marie Curie

`prenom.nom@lip6.fr`

Plan

- 1 Robustesse
 - Contexte
 - Premiers résultats
 - Aller un peu plus loin. . .
 - Nouvelles stratégies d'attaque
- 2 Paris traceroute et load-balancing
 - Traceroute: rappels
 - Biais associé au load-balancing
- 3 Détection d'événements
- 4 Biais induit par la dynamique

Plan

- 1 Robustesse
 - Contexte
 - Premiers résultats
 - Aller un peu plus loin...
 - Nouvelles stratégies d'attaque
- 2 Paris traceroute et load-balancing
 - Traceroute: rappels
 - Biais associé au load-balancing
- 3 Détection d'événements
- 4 Biais induit par la dynamique

Outline

- 1 Robustesse
 - Contexte
 - Premiers résultats
 - Aller un peu plus loin...
 - Nouvelles stratégies d'attaque
- 2 Paris traceroute et load-balancing
 - Traceroute: rappels
 - Biais associé au load-balancing
- 3 Détection d'événements
- 4 Biais induit par la dynamique

Contexte

Phénomènes de **propagation** :

- Internet
- Réseaux sociaux (**maladies, rumeurs, ...**)
- Échanges d'e-mails (**virus informatiques**)
- ...

Deux types d'atteintes

- Pannes
- Attaques

But : **Comprendre** ces phénomènes pour pouvoir :

- Prédire
- Construire des stratégies d'attaque efficaces
- (Protéger)

Évaluation des dégâts

Être capable de déterminer à quel point le réseau est endommagé :

Plusieurs critères possibles

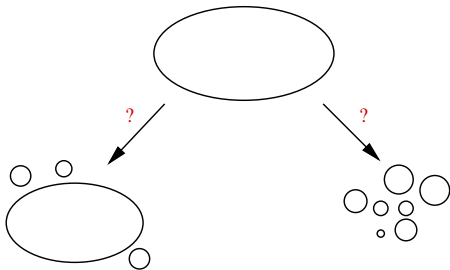
- Critères fondés sur la distance
- Tailles des composantes connexes

Évaluation des dégâts

Être capable de déterminer à quel point le réseau est endommagé :

Plusieurs critères possibles

- Critères fondés sur la distance
- Tailles des composantes connexes



Modélisation

- Pannes
- Attaques
- Réseaux

Modélisation

- Pannes
 - Suppressions aléatoires de nœuds ou de liens
- Attaques
- Réseaux

Modélisation

- Pannes
- Attaques
 - **Suppression de nœuds ou liens choisis**
- Réseaux

Modélisation

- Pannes
- Attaques
- Réseaux :

Étude de l'influence des degrés

- Graphes de terrain
- Graphes aléatoires (Erdős et Rényi)
Tous les nœuds sont équivalents
- Graphes sans échelle ($p_k \sim k^{-\alpha}$)
Présence de nœuds de fort degré

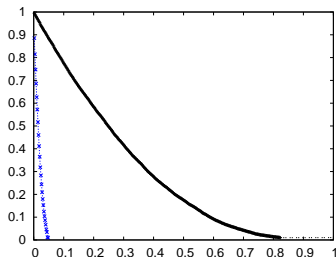
Outline

- 1 Robustesse
 - Contexte
 - Premiers résultats
 - Aller un peu plus loin...
 - Nouvelles stratégies d'attaque
- 2 Paris traceroute et load-balancing
 - Traceroute: rappels
 - Biais associé au load-balancing
- 3 Détection d'événements
- 4 Biais induit par la dynamique

Simulations

[Albert, Jeong et Barabási, 2000]

- Pannes de nœuds
- Attaques (nœuds de plus fort degré)

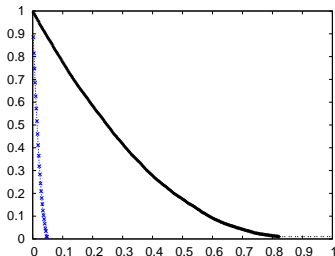


Mesure de l'internet

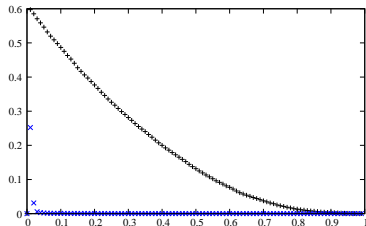
Simulations

[Albert, Jeong et Barabási, 2000]

- Pannes de nœuds
- Attaques (nœuds de plus fort degré)



Mesure de l'internet



Graphe sans échelle

Observations

Graphes réels :

- résistants aux pannes

supprimer tous les nœuds pour déconnecter

- sensibles aux attaques

Graphes aléatoires :

- plus sensibles aux pannes

supprimer une fraction des nœuds pour déconnecter

- moins sensibles aux attaques

Observations

Différences : **distribution des degrés**

Graphes aléatoires

Degrés homogènes, pannes \sim attaques

Graphes sans échelle

Différences dans les degrés

→ différences entre pannes et attaques

→ modélisation par des graphes avec degrés fixés :

- plus de souplesse qu'utiliser les graphes réels
- permet d' **expliquer** les phénomènes

comparaison avec graphes aléatoires

Pannes, résultats théoriques

[Cohen *et al*, 2000]

Graphe aléatoire avec distribution distribution des degrés p_k .
Suppression aléatoire d'une fraction p des nœuds :

$$p_k(p) = \sum_{k_0=k}^{\infty} p_{k_0} \binom{k_0}{k} (1-p)^k p^{k_0-k}$$

Pannes, résultats théoriques

[Cohen *et al*, 2000]

Graphe aléatoire avec distribution des degrés p_k .
Suppression aléatoire d'une fraction p des nœuds :

$$p_k(p) = \sum_{k_0=k}^{\infty} p_{k_0} \binom{k_0}{k} (1-p)^k p^{k_0-k}$$

Théorème [Molloy, Reed, 1995]

Composante géante ssi :

$$\langle k(p)^2 \rangle - 2\langle k(p) \rangle = \sum_{k=0}^{\infty} k(k-2)p_k(p) \geq 0$$

Pannes, résultats théoriques

[Cohen *et al*, 2000]

En remplaçant $p_k(p)$ dans le théorème :

$$p_c = 1 - \frac{\langle k \rangle}{\langle k^2 \rangle - \langle k \rangle}$$

Applications (1/1)

$$p_c = 1 - \frac{\langle k \rangle}{\langle k^2 \rangle - \langle k \rangle}$$

Graphes $\rightarrow \infty$:

- **aléatoires** :

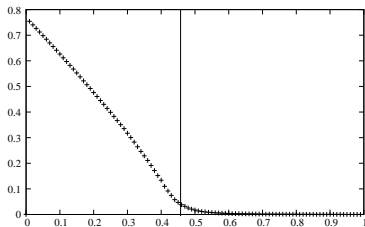
- $\langle k \rangle = z$
- $\langle k^2 \rangle = z^2 + z$

- **sans échelle** ($2 \leq \alpha \leq 3$) :

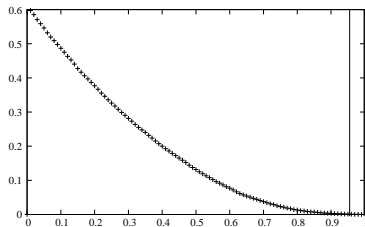
- $\langle k \rangle = \zeta(\alpha - 1) < \infty$
- $\langle k^2 \rangle = \zeta(\alpha - 2) = \infty$

Applications (1/1)

$$p_c = 1 - \frac{\langle k \rangle}{\langle k^2 \rangle - \langle k \rangle}$$



ER



SF

Applications (2/2)

On aimerait comparer les **seuils théoriques** aux **seuils observés en pratique**

Problème : pas de **définition** du seuil en pratique

Notion qui a du sens seulement pour les graphes **dont la taille tend vers l'infini**

Pannes de liens

Suppression aléatoire de **liens**.

Pannes de liens

Suppression aléatoire de **liens**.

Même effet sur la distribution des degrés que les suppressions de **nœuds**.

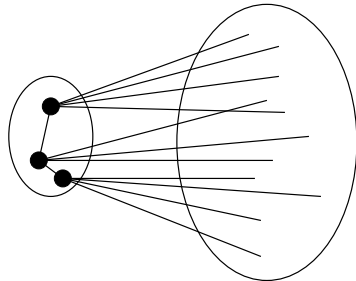
→ mêmes seuils théoriques que pour les pannes de nœuds.

Attaques - 1

Suppression d'une fraction p des nœuds **de plus fort degré**.

Deux effets :

- Borne sur le degré maximum $K(p)$
- Modification de la distribution des degrés



Attaques - 1

Suppression d'une fraction p des nœuds **de plus fort degré**.

Deux effets :

- Borne sur le degré maximum $K(p)$

$$p = \sum_{k=K(p)+1}^{\infty} p_k$$

Attaques - 1

Suppression d'une fraction p des nœuds **de plus fort degré**.

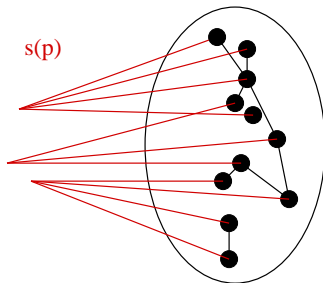
Deux effets :

- Modification de la distribution des degrés

Fraction des demi-liens appartenant aux nœuds supprimés :

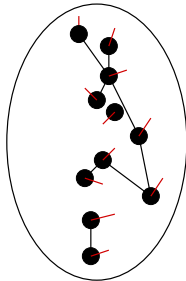
$$s(p) = \frac{\sum_{k=K(p)+1}^{\infty} kp_k}{\langle k \rangle}$$

Attaques - 2



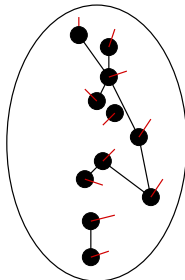
Attaques - 2

s(p)



Attaques - 2

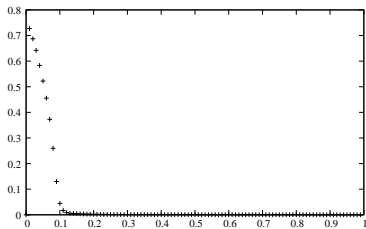
$s(p)$



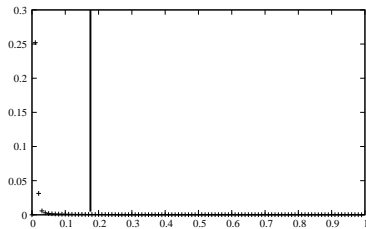
Équivalent à des **pannes de liens**

→ possible de calculer le seuil

Attaques - 3

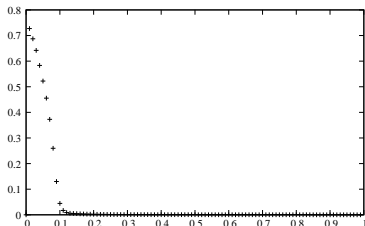


ER

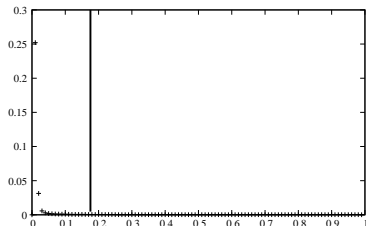


SF

Attaques - 3



ER

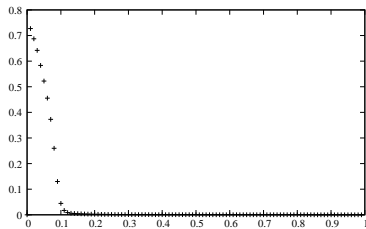


SF

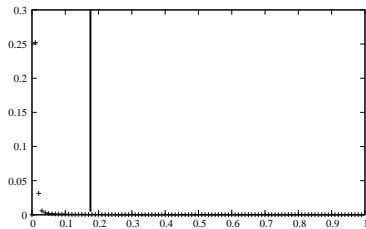
Graphes sans échelle :

- Possible de donner des formules pour le seuil
- Seuils théoriques **faibles**

Attaques - 3



ER



SF

Graphes aléatoires

- Même idée théorique
- Problème pour les **calculs**

Outline

- 1 Robustesse
 - Contexte
 - Premiers résultats
 - **Aller un peu plus loin...**
 - Nouvelles stratégies d'attaque
- 2 Paris traceroute et load-balancing
 - Traceroute: rappels
 - Biais associé au load-balancing
- 3 Détection d'événements
- 4 Biais induit par la dynamique

Attaques vues du point de vue des liens

Attaques sur les nœuds → **stratégie d'attaque sur les liens**

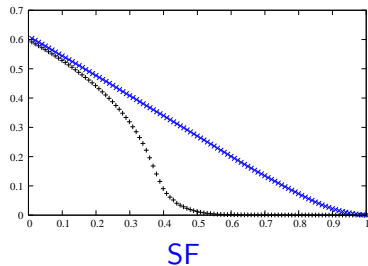
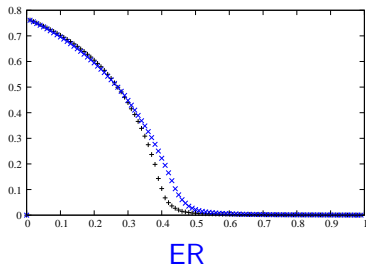
Grands nombre de liens supprimés :
Explication de l'efficacité des attaques ?

Attaques vues du point de vue des liens

Attaques sur les nœuds → **stratégie d'attaque sur les liens**

— Attaques vues du point de vue des liens

— Pannes de liens



Conclusion

Efficacité des attaques :
pas uniquement dû au **grand nombre de liens supprimés**

Outline

- 1 Robustesse
 - Contexte
 - Premiers résultats
 - Aller un peu plus loin...
 - **Nouvelles stratégies d'attaque**
- 2 Paris traceroute et load-balancing
 - Traceroute: rappels
 - Biais associé au load-balancing
- 3 Détection d'événements
- 4 Biais induit par la dynamique

Nouvelles stratégies d'attaque

[Molloy et Reed, 1995]

Composante géante ssi :

$$\langle k^2 \rangle - 2\langle k \rangle \geq 0$$

$$\sum_{k=0}^{\infty} k(k-2)p_k \geq 0$$

Nouvelles stratégies d'attaque

[Molloy et Reed, 1995]

Composante géante ssi :

$$\langle k^2 \rangle - 2\langle k \rangle \geq 0$$

$$\sum_{k=0}^{\infty} k(k-2)p_k \geq 0$$

$$p_1 \leq \sum_{k=3}^{\infty} k(k-2)p_k$$

Nouvelles stratégies d'attaque

[Molloy et Reed, 1995]

Composante géante ssi :

$$\langle k^2 \rangle - 2\langle k \rangle \geq 0$$

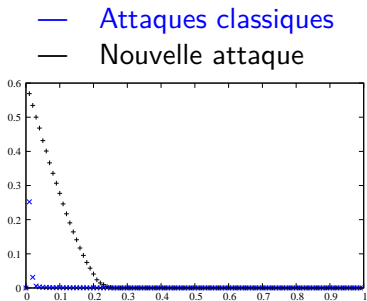
$$\sum_{k=0}^{\infty} k(k-2)p_k \geq 0$$

$$p_1 \leq \sum_{k=3}^{\infty} k(k-2)p_k$$

→ nouvelles stratégies d'attaque

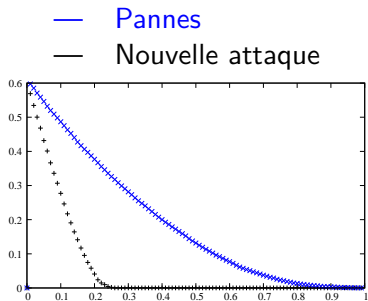
Nœuds

Stratégie : **Suppression aléatoire de nœuds de degré ≥ 2**



Nœuds

Stratégie : **Suppression aléatoire de nœuds de degré ≥ 2**



Seuil

Borne supérieure pour le seuil :

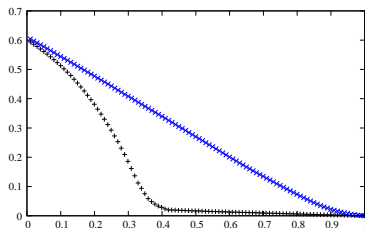
$$1 - p_1$$

Liens

Stratégie :

Suppression aléatoire de liens entre des sommets de degré ≥ 2 .

— Pannes de liens
— Nouvelle attaque

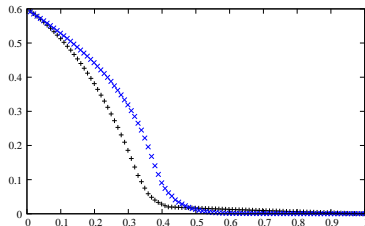


Liens

Stratégie :

Suppression aléatoire de liens entre des sommets de degré ≥ 2 .

— Attaques classiques
— Nouvelle attaque



Seuil

Borne supérieure pour le seuil :

supprimer tous les liens entre deux nœuds de degré ≥ 2 .

Nombre de liens incidents à au moins un sommet de degré 1 :

$$N_1 - N_{(1,1)}$$

Conclusion

Pannes et attaques classiques

- Attaques plus efficaces que les pannes
- Grande différence entre graphes aléatoires et sans-échelle

Conclusion

Pannes et attaques classiques

- Attaques plus efficaces que les pannes
- Grande différence entre graphes aléatoires et sans-échelle
- Mais attention au cas fini

Conclusion

Pannes et attaques classiques

- Attaques plus efficaces que les pannes
- Grande différence entre graphes aléatoires et sans-échelle
- Mais attention au cas fini

Efficacité des attaques liée à :

- Pas de suppression de nœuds de degré 1
- Pas à la quantité de nœuds supprimée
- Pas de suppression de liens adjacents à des nœuds de degré 1.

Conclusion

Pannes et attaques classiques

- Attaques plus efficaces que les pannes
- Grande différence entre graphes aléatoires et sans-échelle
- Mais attention au cas fini

Efficacité des attaques liée à :

- Pas de suppression de nœuds de degré 1
- Pas à la quantité de nœuds supprimée
- Pas de suppression de liens adjacents à des nœuds de degré 1.

Impact d'autres propriétés ?

- Clustering
- Corrélations entre les degrés
- ...

Plan

- 1 Robustesse
 - Contexte
 - Premiers résultats
 - Aller un peu plus loin. . .
 - Nouvelles stratégies d'attaque
- 2 Paris traceroute et load-balancing
 - Traceroute: rappels
 - Biais associé au load-balancing
- 3 Détection d'événements
- 4 Biais induit par la dynamique

Principaux travaux de référence

Fabien Viger, Brice Augustin, Xavier Cuvellier, Clémence Magnien, Matthieu Latapy, Timur Friedman et Renata Teixeira

Detection, understanding, and prevention of traceroute measurement artifacts
Computer Networks 52-5, 2008.

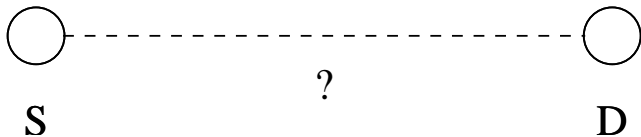
Topologie de l'Internet au niveau IP

- Adresses IP
- Sauts au niveau IP

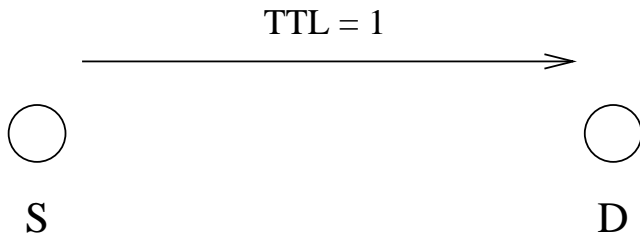
Outline

- 1 Robustesse
 - Contexte
 - Premiers résultats
 - Aller un peu plus loin...
 - Nouvelles stratégies d'attaque
- 2 Paris traceroute et load-balancing
 - Traceroute: rappels
 - Biais associé au load-balancing
- 3 Détection d'événements
- 4 Biais induit par la dynamique

Mesure avec traceroute: rappels



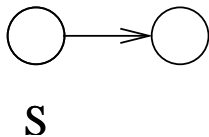
Mesure avec traceroute: rappels



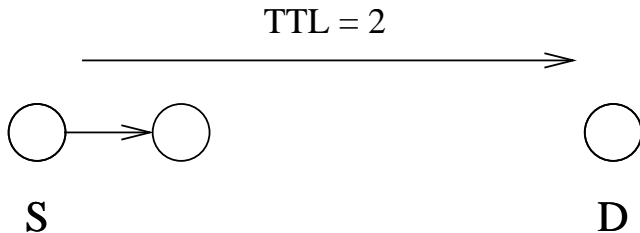
Mesure avec traceroute: rappels



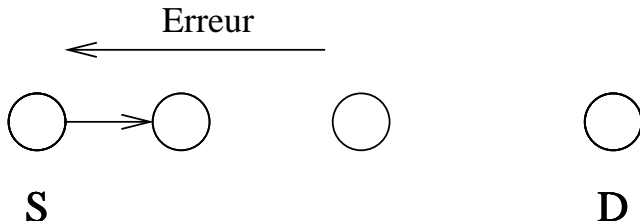
Mesure avec traceroute: rappels



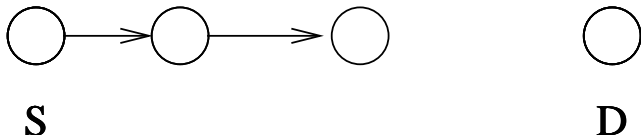
Mesure avec traceroute: rappels



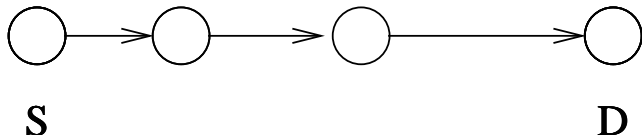
Mesure avec traceroute: rappels



Mesure avec traceroute: rappels



Mesure avec traceroute: rappels

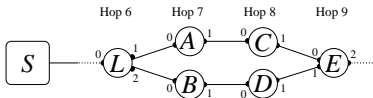


Outline

- 1 Robustesse
 - Contexte
 - Premiers résultats
 - Aller un peu plus loin...
 - Nouvelles stratégies d'attaque
- 2 Paris traceroute et load-balancing
 - Traceroute: rappels
 - Biais associé au load-balancing
- 3 Détection d'événements
- 4 Biais induit par la dynamique

Load-balancing

Load-balancing (équilibrage de charge)



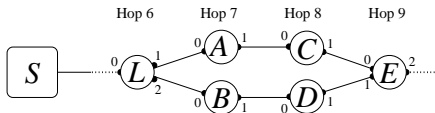
L envoie les paquets pour *E* tantôt vers *A*, tantôt vers *B*.

Problème causé par le load-balancing

Traceroute → Information manquante ou fausse

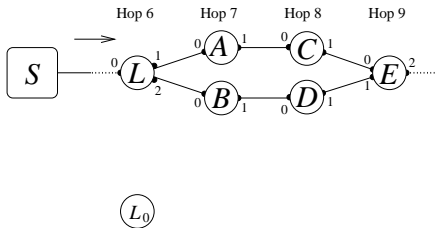
Problème causé par le load-balancing

Traceroute → Information manquante ou fausse



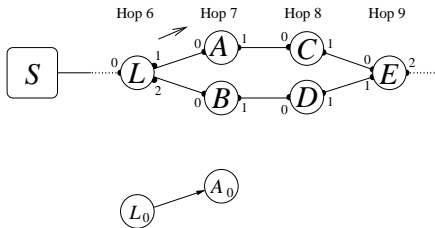
Problème causé par le load-balancing

Traceroute \rightarrow Information manquante ou fausse



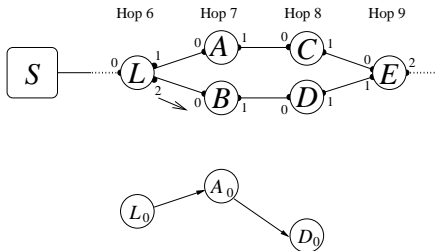
Problème causé par le load-balancing

Traceroute → Information manquante ou fausse



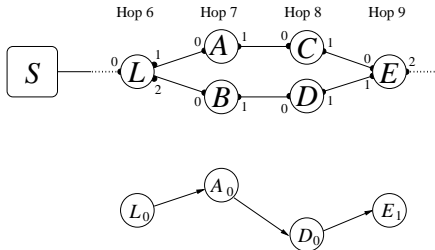
Problème causé par le load-balancing

Traceroute → Information manquante ou fausse



Problème causé par le load-balancing

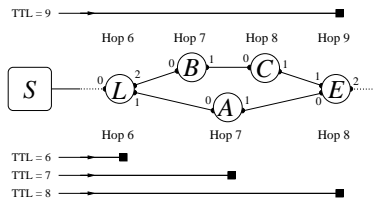
Traceroute \rightarrow Information manquante ou fausse



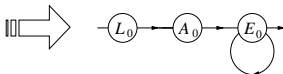
Faux liens
Nœuds non vus

Problèmes – 2

Boucles:



What we see:



Problèmes – 3

Cycles:

Différence de longueur entre routes = k

→ cycle de longueur k

Load-balancing

Plusieurs types de load-balancing :

- par paquet
→ aléatoire, *round-robin*
- par flot
→ paquets d'une même **application** sur le même chemin
- par destination
→ paquets pour une même **destination** sur le même chemin

traceroute et load-balancing

- par paquet → aucun contrôle
- par flot
- par destination

traceroute et load-balancing

- par paquet → aucun contrôle
- **par flot**
- par destination

Flot = IPs + **ports source & destination**, protocole

traceroute varie systématiquement le port destination

→ les paquets suivent systématiquement des **chemins différents**

traceroute et load-balancing

- par paquet → aucun contrôle
- par flot
- par destination

Pas de biais dans les mesures avec traceroute

Paris-traceroute

Variante de traceroute :

les ports source/dest sont gardés constants pendant toute la mesure

(utilisation d'autres champs de l'en-tête pour identifier les paquets)

→ pas de problème avec le load-balancing **par flot**

Paris-traceroute

Variante de traceroute :

les ports source/dest sont gardés constants pendant toute la mesure

(utilisation d'autres champs de l'en-tête pour identifier les paquets)

→ pas de problème avec le load-balancing **par flot**

Question

Quel est l'impact en pratique du load-balancing ?

Comparer des mesures avec traceroute et paris-traceroute

Mesures

- 5000 destinations
- une passe :
 - un traceroute vers chaque destination
 - un paris-traceroute vers chaque destination
- 1 465 passes (74 jours)

Boucles

avec traceroute : $\sim 7\%$ des IP ont une boucle

→ **90%** des boucles disparaissent avec paris-traceroute

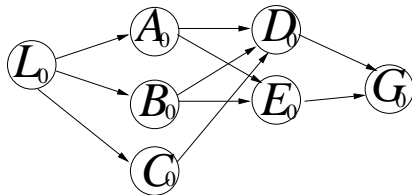
Cycles

Cycles : rares avec traceroute (fréquence 0.6%)

→ 80% des cycles disparaissent avec paris-traceroute

load-balancing ou événements rares ?

Diamants



$(L_0, D_0) \rightarrow$ taille 3

$(L_0, E_0), (A_0, G_0), (B_0, G_0) \rightarrow$ taille 2

Le load-balancing crée des diamants

Diamants

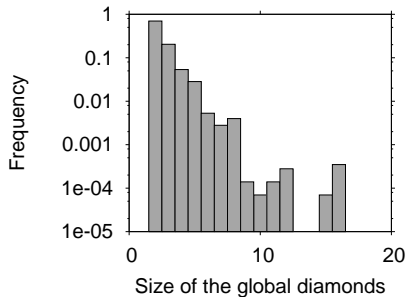
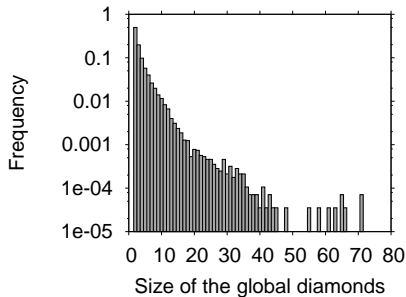
traceroute :

- 28 231 diamants
- diamants vers 90% des destinations
- 21.3 diamant / destination en moyenne

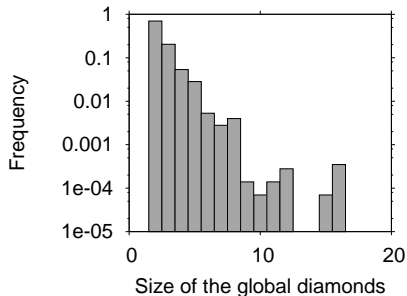
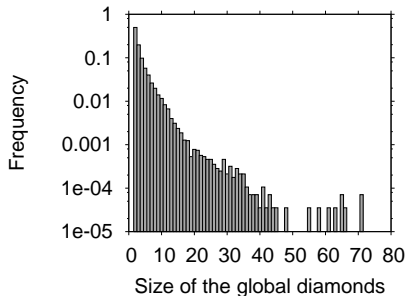
paris-traceroute :

- 52% des diamants disparaissent
- diamants vers 89% des des destinations
- 9.7 diamant / destination en moyenne

Diamants



Diamants



- Moins de diamants avec paris-traceroute
- Diamants moins gros

le load-balancing par flot crée de **faux liens**

Diamants – questions

Diamants restants : **load-balancing par paquet** ou **vrais liens** ?

Certains diamants sont vus avec paris-traceroute mais pas
traceroute

événements ?

Plan

- 1 Robustesse
 - Contexte
 - Premiers résultats
 - Aller un peu plus loin...
 - Nouvelles stratégies d'attaque
- 2 Paris traceroute et load-balancing
 - Traceroute: rappels
 - Biais associé au load-balancing
- 3 Détection d'événements
- 4 Biais induit par la dynamique

Approches

Plusieurs approches pour détecter les événements

Par signature

Si on sait à quoi ressemble un événement (**signature**)
→ détection de la signature dans les données

Top-down

Pas d'*a priori* sur la dynamique
→ on cherche à détecter les événements différents de la dynamique normale

Méthodologie

[Detecting Events in the Dynamics of Ego-centered Measurements
of the Internet Topology

Hamzaoui, Latapy, Magnien, 2010]

Une statistique, trois cas possibles :

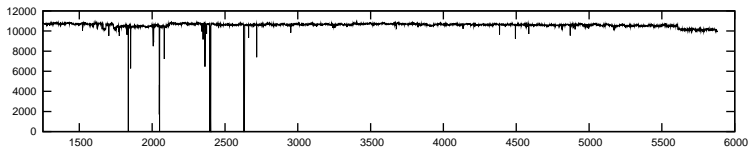
- homogène
- hétérogène
- homogène avec **outliers**

Données

Données étudiées

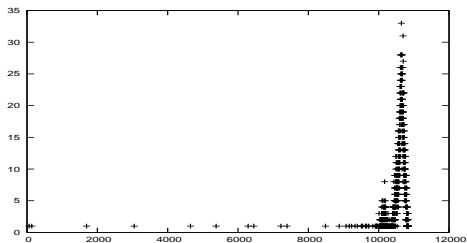
Mesure radar

Nombre de nœuds par passe



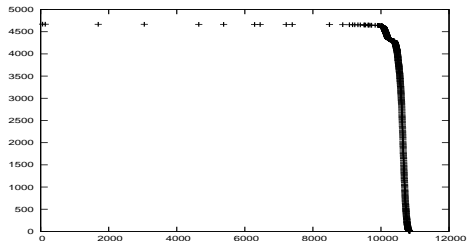
Statistique au fil du temps

Nombre de nœuds par passe



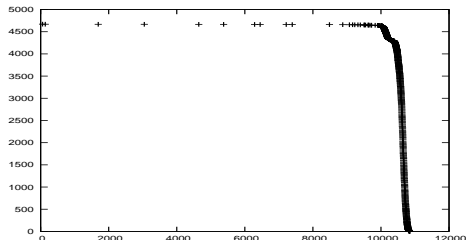
Distribution

Nombre de nœuds par passe



Distribution cumulative inverse

Nombre de nœuds par passe

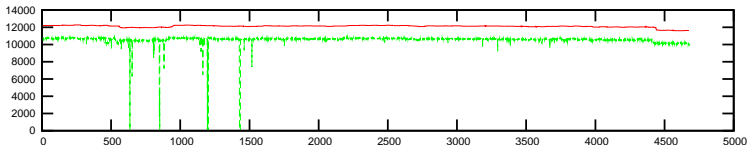


Distribution cumulative inverse

Conclusion

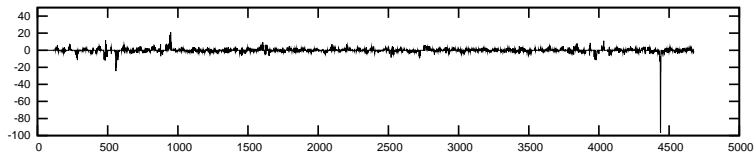
- Pics vers le bas significatifs
- Événements non intéressants (pertes de connexion locales)

Changements de régime



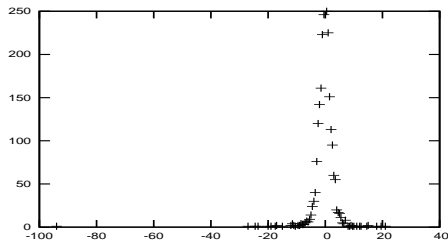
- N_i : nombre de nœuds par passe
- M_i : médiane $N_i \rightarrow N_{i+100}$ (courbe décalée)

Changements de régime



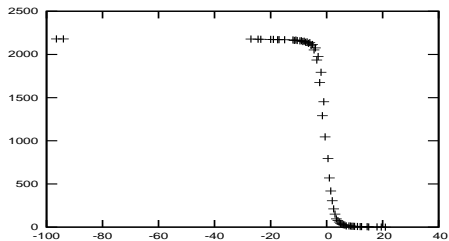
$$M_i - M_{i-1}$$

Changements de régime



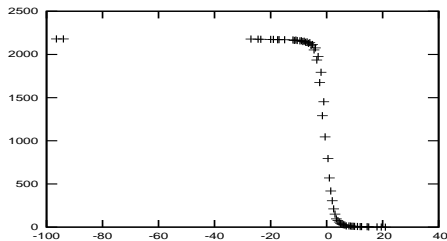
Distribution des $M_i - M_{i-1}$

Changements de régime



Distribution cumulative inverse des $M_i - M_{i-1}$

Changements de régime



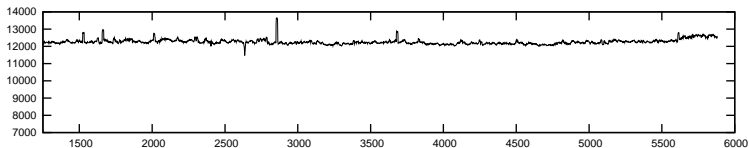
Distribution cumulative inverse des $M_i - M_{i-1}$

Conclusion

- Présence d'outliers
- Changements de régime détectés rigoureusement

Nombre de nœuds dans plusieurs passes consécutives

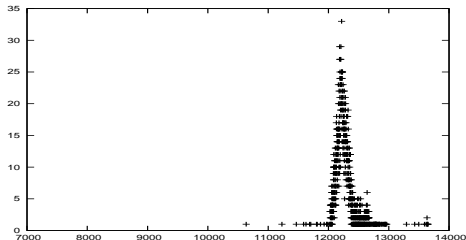
Statistique : nombre d'IP distinctes dans l'union de 5 passes



Statistique au fil du temps

Nombre de nœuds dans plusieurs passes consécutives

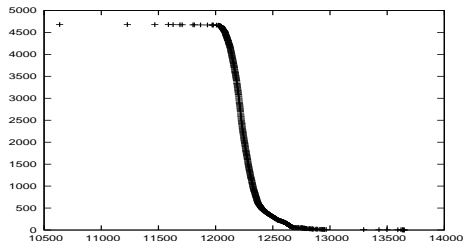
Statistique : nombre d'IP distinctes dans l'union de 5 passes



Distribution

Nombre de nœuds dans plusieurs passes consécutives

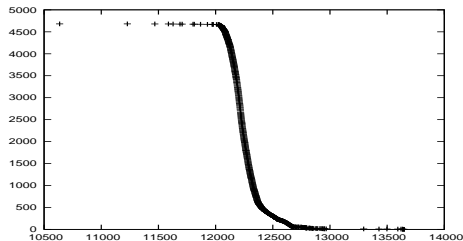
Statistique : nombre d'IP distinctes dans l'union de 5 passes



Distribution cumulative inverse

Nombre de nœuds dans plusieurs passes consécutives

Statistique : nombre d'IP distinctes dans l'union de 5 passes

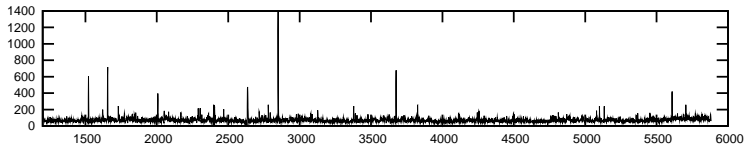


Conclusion

- Pics significatifs
- Pics vers le haut → changements
- Pics vers le bas significatifs ? (perte de connexion locale longue ?)

Nombre de *nouveaux* nœuds

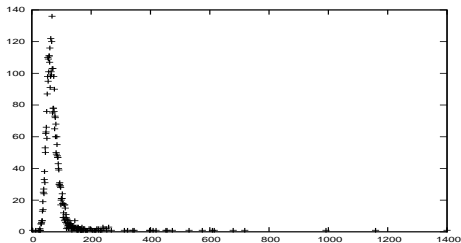
Statistique : nombre d'IP vues dans l'union de 2 passes **non vues** dans les 10 passes d'avant



Statistique au fil du temps

Nombre de *nouveaux* nœuds

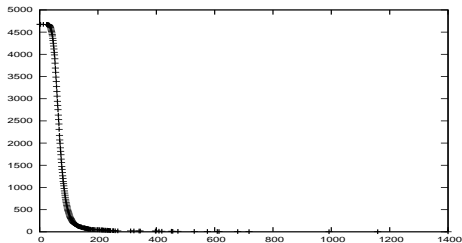
Statistique : nombre d'IP vues dans l'union de 2 passes **non vues** dans les 10 passes d'avant



Distribution

Nombre de *nouveaux* nœuds

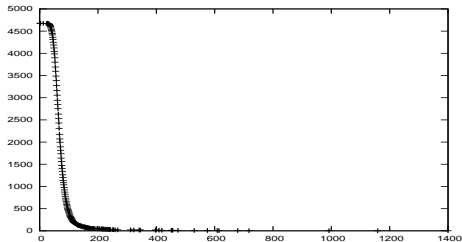
Statistique : nombre d'IP vues dans l'union de 2 passes **non vues** dans les 10 passes d'avant



Distribution cumulative inverse

Nombre de *nouveaux* nœuds

Statistique : nombre d'IP vues dans l'union de 2 passes **non vues** dans les 10 passes d'avant



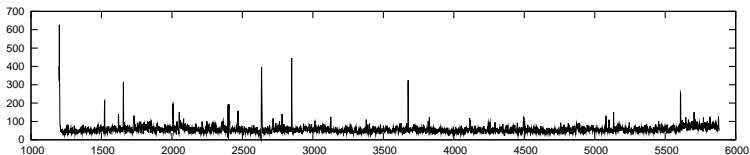
Distribution cumulative inverse

Conclusion

- Pics significatifs
- Pics vers le haut → changements

Nombre de composantes connexes de *nouveaux* nœuds

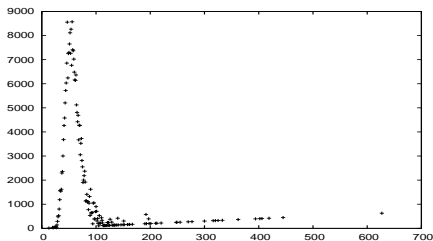
Statistique : nombre composantes connexes formées de **nouveaux** nœuds



Statistique au fil du temps

Nombre de composantes connexes de *nouveaux* nœuds

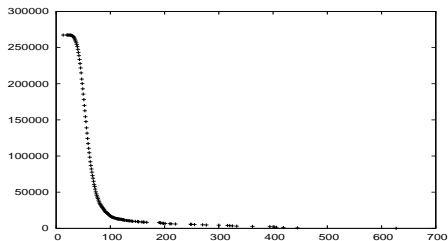
Statistique : nombre composantes connexes formées de *nouveaux* nœuds



Distribution

Nombre de composantes connexes de *nouveaux* nœuds

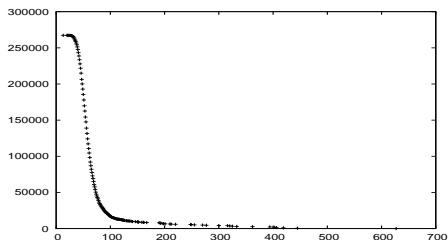
Statistique : nombre composantes connexes formées de *nouveaux* nœuds



Distribution cumulative inverse

Nombre de composantes connexes de *nouveaux* nœuds

Statistique : nombre composantes connexes formées de *nouveaux* nœuds

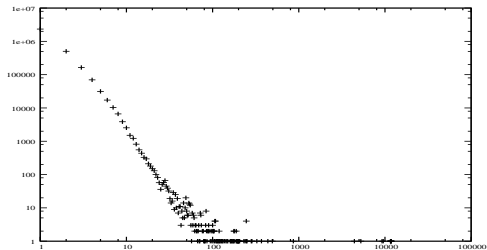


Conclusion

- Pics significatifs
- Pics vers le haut → changements
- Mêmes événements que le nombre de nouveaux nœuds

Taille des composantes connexes de *nouveaux* nœuds

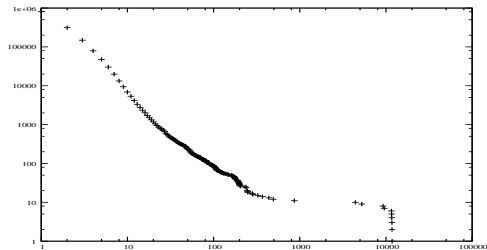
Statistique : nombre composantes connexes formées de nouveaux nœuds



Distribution

Taille des composantes connexes de *nouveaux* nœuds

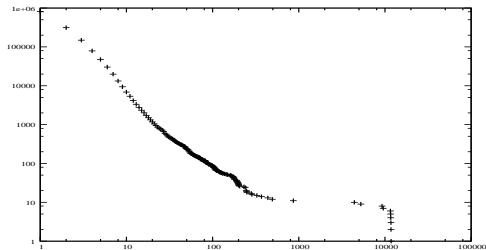
Statistique : nombre composantes connexes formées de nouveaux nœuds



Distribution cumulative inverse

Taille des composantes connexes de *nouveaux* nœuds

Statistique : nombre composantes connexes formées de nouveaux nœuds



Distribution cumulative inverse

Conclusion

- Distribution **hétérogène**
- Pas de notion de normal vs anormal

Interprétation des événements

Événement statistiquement significatif détecté

→ **Interprétation** ?

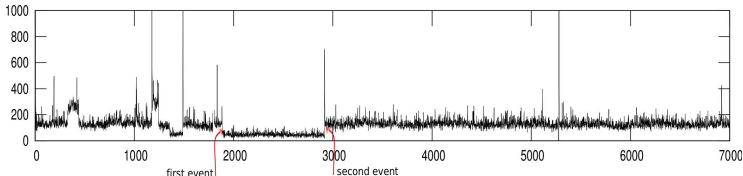
But : compréhension, pertinence de l'événement

Deux approches

- Corrélations avec des événements connus
- Dessin

Tickets d'incidents Abilene

Dans certains cas, correspondance entre un incident détecté et un ticket d'incident

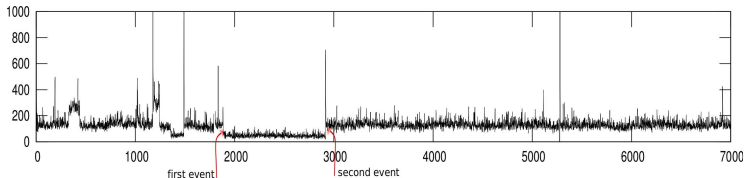


```
AFFECTED: Peer SINET (CHIC)
STATUS: Unavailable
START TIME: Thursday, May 17, 2007, 11:47 AM (1147) UTC
END TIME: Pending
DESCRIPTION: Peer SINET's connection the Internet2 IP
Community is unavailable. SINET Engineers
have been contacted, however, no cause of
outage has been provided yet. SINET is multi-homed.

TICKET NO.: 10201:45
TIMESTAMP: 07-05-18 00:40:43 UTC
```

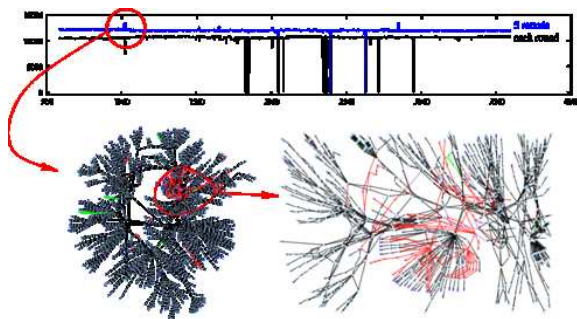
Tickets d'incidents Abilene

Dans certains cas, correspondance entre un incident détecté et un ticket d'incident



STATUS: Available
START TIME: Thursday, May 17, 2007, 11:47 AM (1147) UTC
END TIME: Friday, May 18, 2007, 3:51 AM (0351) UTC
DESCRIPTION: Peer SINET was unavailable to the the Internet2 IP Network Community. SINET Engineers reported the reason for outage was due to a fiber cut in New York. SINET is multi-homed.
TICKET NO.: 10201:45
TIMESTAMP: 07-05-18 07:39:16 UTC

Dessin



Pour aller plus loin

- Caractérisation automatique du type de distribution
- Détection automatique et rigoureuse des outliers

fit

Plan

- 1 Robustesse
 - Contexte
 - Premiers résultats
 - Aller un peu plus loin...
 - Nouvelles stratégies d'attaque
- 2 Paris traceroute et load-balancing
 - Traceroute: rappels
 - Biais associé au load-balancing
- 3 Détection d'événements
- 4 Biais induit par la dynamique

Présence des IP

Distribution du nombre de présences

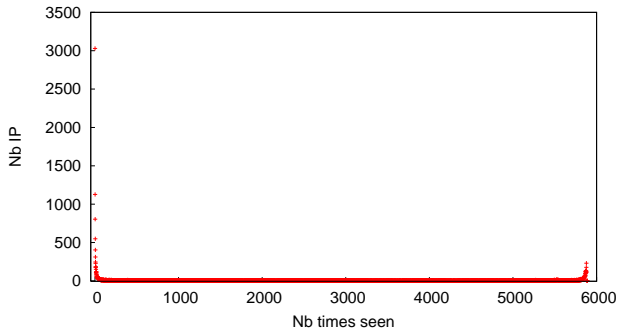
Toutes les IP vues pendant la mesure ($\sim 29\,000$)

Pour chaque IP : **nombre de passes** où on l'a vue

→ Distribution

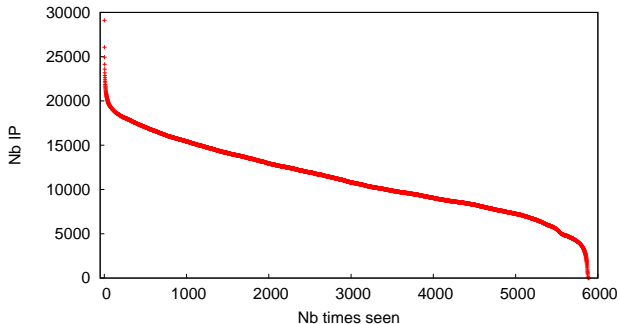
Présence des IP

2 mois ~ 6000 passes



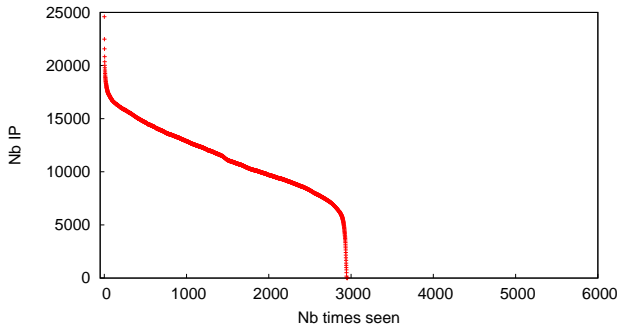
Présence des IP

2 mois ~ 6000 passes — Distrib. cumulative



Présence des IP

1 mois \sim 3000 passes — Distrib. cumulative



Observations dépendantes de la durée de la mesure ?

Mesure plus longue :

- Moins d'IP stables
- Plus d'IP éphémères

Conclusion ?

Méthodologie

- Augmenter la taille de la fenêtre de mesure
- **Évolution** de la distribution

Distributions normalisées

Problème :

- Valeur max en x : nombre de passes
- Valeur max en y : nombre total d'IP vues en N passes

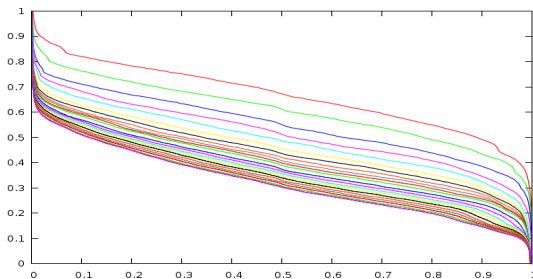
Les courbes ne sont pas directement **comparables**

Normalisation

- y : fraction des IP observées
- x : fraction des passes

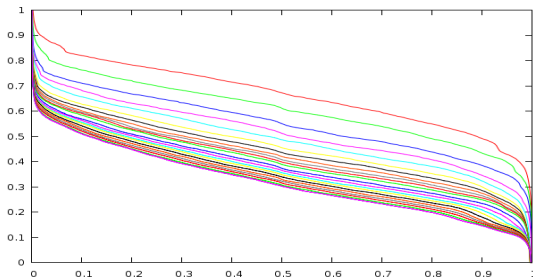
Résultats

10 000 passes \rightarrow \sim 100 jours



Résultats

10 000 passes \rightarrow \sim 100 jours

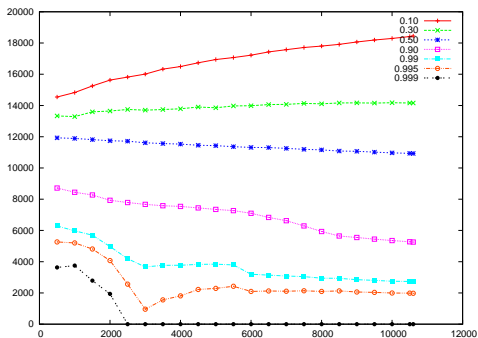


Mesure plus longue :

- Moins d'IP stables
- Plus d'IP éphémères

Étudier la convergence

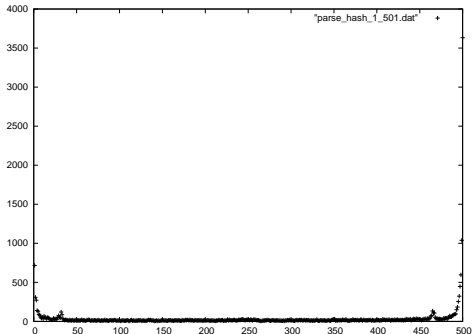
Nombre d'IP vues au moins $x\%$ des passes,
en fonction de la durée de mesure



~ 2000 IP présentes à 99.5% des passes

Lien avec la détection d'événements

Pour certains moniteurs / certaines périodes



500 passes au total

Beaucoup d'IP vues 25 ou 475 passes

événement de durée 25 passes

Prochains cours

Prochaine séance : 20 janvier (cours + TP)

Dernière séance : 27 janvier 8h30-12h30 – 14-15/503

Conflits EdT ?